·短篇论著:

基于Lasso 回归分析卒中后认知障碍危险因素的初步研究*

王千也! 王丹阳! 赵幸娜! 李 一! 曾 西1,2

随着卒中治疗技术的不断发展和普及,卒中致死率在世界范围内均有所下降^[1]。然而,卒中并发症严重影响患者的预后转归和生存质量。卒中后认知障碍(post-stroke cognitive impairment, PSCI)是卒中后患者在6个月内出现并达到认知障碍诊断标准的一系列临床综合征,是卒中后常见并发症之一。一项基于中国社区的横断面研究显示,中国PSCI的发病率高达80.97%^[2]。PSCI患者可出现不同程度的整体认知障碍、执行障碍、语言障碍和视空间功能障碍等,导致患者的病死率较非PSCI患者显著增高^[3-5]。对于PSCI患者而言,早识别、早诊断、早干预尤为重要^[6]。本研究主要通过回顾性研究卒中后伴/不伴PSCI患者的常见临床资料,利用LASSO回归筛选重要预测因素,通过Logistic建立独立预测因素评估模型,通过列线图进行风险评估,探索卒中后认知障碍危险因素,提高临床资料可用性,为临床诊疗提供参考。

1 资料与方法

1.1 研究对象

回顾性收集于2019年6月1日—2020年12月31日在郑州大学第一附属医院惠济院区康复医学科住院的卒中患者。

纳人标准:①符合第四届全国脑血管会议脑卒中的诊断标准,并经CT或MRI确诊;②符合《中国脑卒中后认知障碍流行病学特征的系统评价》中关于脑卒中后认知障碍的相关诊断标准,能配合完成简易智力状态检查量表(mini-mental state examination, MMSE)评分测定者;③患者有完整的研究资料(包括人口学特征资料和临床资料)。

排除标准:①脑卒中发病前已具有严重的痴呆、失语症 状和认知障碍;②患者临床资料不完整。

1.2 研究方法

1.2.1 临床资料:收集患者临床资料,包括年龄、性别(sex)、卒中类型(type)、卒中侧(lesion side)、卒中史(history)、卒中部位、高血压(hypertension)、糖尿病(diabetes)、阻塞性睡眠呼吸暂停低通气综合征(obstructive sleep apnea-hypopnea syndrome, OSAHS)、冠心病(coronary atherosclerotic heart disease, CHD)、吸烟史(smoking)、饮酒史(drinking)、白蛋

白(albumin)、甘油三酯(triglyceride)、总胆固醇(total cholesterol)、高密度脂蛋白(high-density lipoprotein, HDL)、低密度脂蛋白(low-density lipoprotein, LDL)、载脂蛋白 A1 (Apolipoprotein-A1, ApoA1)、PHQ-9评分。

- 1.2.2 认知障碍判定标准分组:患者在入院后3天内病情稳定情况下进行MMSE测定,文盲≤17分、小学文化≤20分、初中及以上文化程度≤24分被认定为PSCI。根据患者MMSE评分和文化程度,最终将患者分为PSCI组和认知功能正常组。
- **1.2.3** 样本量估算:设定检验水准 α =0.05,设定检验效能 1- β =0.90; 预估 PSCI 的发生率为 0.33^[7]; 采用 R (4.0.3) 软件 "power Mediation"程序包进行样本量计算,最终所需样本量为88 例。

1.3 统计学分析

本试验通过 SPSS 25.0 软件对患者的一般资料进行统计分析,计量资料进行正态性检验,符合正态分布的数据以均数±标准差的形式表示,t检验分析;不符合正态分布的数据,秩和检验分析;定性资料以构成比表示, χ 检验分析。采用R(4.0.3)软件进行模型构建,Lasso回归筛选重要预测性因素,logistic回归进一步选出独立危险因素并建立预测模型,绘制列线图(Nomogram)。绘制受试者工作曲线、决策曲线和校准曲线评估模型的预测能力。P<0.05差异有显著性意义。

2 结果

2.1 研究资料

本研究最终纳入卒中患者共计171例。其中PSCI患者共计75例,认知功能正常患者共计96例。两组患者的人口学资料和临床资料见表1。

2.2 相关性分析

对纳入研究的各变量进行相关性分析,结果如图1。从图中可以看出,甘油三酯、HDL、LDL、总胆固醇和载脂蛋白A1之间,性别与吸烟史和饮酒史之间,卒中类型与血脂水平之间有显著的相关性,变量间存在多重共线性。

2.3 影响因素筛选

DOI:10.3969/i.issn.1001-1242.2024.02.019

^{*}基金项目:河南省科技攻关项目(1821023101)

¹ 郑州大学第一附属医院惠济院区康复医学科,河南省郑州市,450000; 2 通讯作者

第一作者简介:王千也,女,硕士研究生; 收稿日期:2021-07-11

表1 认知功能正常组和卒中后认知障碍(PSCI)组 人口资料和临床资料的差异 $(\bar{x}\pm_S)$

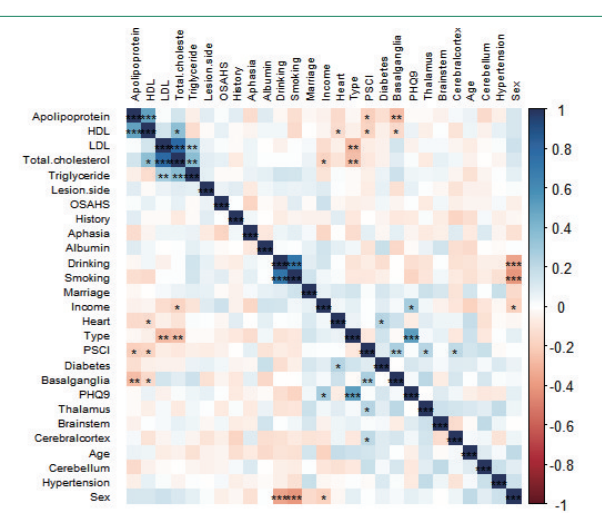
因素		认知功能正常组	PSCI组	t/χ²/Z值	P值
		(n=96)	(n=75)		
年龄	:	56.0(49.0,66.0)	60.1±1.5	- 1.732	0.083
性别 男		(7((0,0)	52((0.2)	0.004	0.948
为 女		67(69.8) 29(30.3)	52(69.3) 23(30.7)		
女 白蛋白(g	r/dI)	40.0(36.8,43.2)	38.6±0.5	- 1.918	0.550
甘油三酯(n		1.3(1.0, 1.8)	1.33(1.1,1.7)	- 0.016	0.988
HDL(mm		1.2(1.1, 1.4)	1.08(0.9, 1.3)	- 2.723	0.006
LDL(mm		2.0(1.5,2.5)	2.0±0.9	- 0.724	0.496
总胆固醇(n		4.1±0.12	3.9±0.1	1.101	0.272
载脂蛋白A		1.3 ± 0.03	1.2 ± 0.03	2.640	0.009°
MMSEi		27.0 ± 2.9	14.8 ± 5.1	- 10.94	0.000°
抑郁				0.034	0.854
否		50(52.1)	38(50.7)		
是		46(47.9)	37(49.3)		
分型				1.378	0.240
出血		35(36.5)	34(45.3)		
梗死		61(63.5)	41(54.7)		
卒中侧	,		()	0.745	0.388
左侧		41(42.7)	37(49.3)		
右侧		55(57.3)	38(50.7)		
卒中部位 七時中日				7.140	0.000
大脑皮层		69(71.9)	39(52.0)	7.148	0.008
是 否		27(28.1)	36(48.0)		
基底节		27(20.1)	30(46.0)	12.355	0.000
· I A 是		54(56.3)	22(29.3)	12.333	0.000
否		42(43.8)	53(70.7)		
丘脑		12(13.0)	33(70.7)	8.940	0.003
— 是		87(90.6)	55(73.3)		
否		9(9.4)	20(36.7)		
小脑				5.237	0.220
是		90(93.8)	62(82.7)		
否		6(6.3)	13(17.3)		
脑干				0.028	0.868
是		74(77.1)	57(76.0)		
否		22(22.9)	18(24.0)		
卒中史 🔠		-0(-0-)	()	0.001	0.981
是		28(29.2)	22(29.3)		
否		68(70.8)	53(70.7)	0.061	0.005
高血压		24(25.0)	20(2(7)	0.061	0.805
是 否		24(25.0) 72(75.0)	20(26.7) 55(73.3)		
		72(73.0)	33(73.3)	1.538	0.208
糖尿病 是		77(80.2)	54(72.0)	1.556	0.200
否		19(19.8)	21(28.0)		
阻塞性睡眠	呼吸暂值		21(20.0)	0.411	0.522
是	. 1	87(90.6)	70(93.3)	0.111	0.522
否		9(9.4)	5(6.7)		
冠心病		,		0.013	0.908
是		80(83.3)	62(82.7)		
否		16(16.7)	13(17.3)		
吸烟				1.288	0.257
是		64(66.7)	56(74.7)		
否		32(33.3)	19(25.3)		
饮酒				0.814	0.367
是		67(69.8)	57(76.0)		
否		29(30.3)	18(24.0)		

患者是否有认知障碍作为结局变量指标,采用LASSO 回归分析从26个可能的影响因素中进行筛选。共纳入171 例患者数据。随着惩罚系数λ变化,影响因素系数逐渐被压 缩避免过度拟合(见图2)。最终选择交叉验证误差为最小化 时的λ(λ=0.0577368)值作为模型的最优解。此时回归系数 非0的因素将被筛选出,共计7个重要预测因素:年龄、大脑 皮层损伤、基底节损伤、丘脑损伤、小脑损伤、高密度脂蛋白 和载脂蛋白A1(见图3)。

2.4 二元Logistic分析实现预测模型构建

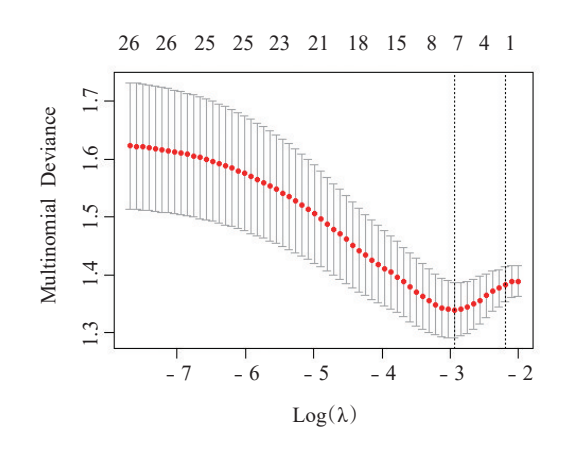
将 Lasso 回归筛选的7个重要预测因素纳入二元 Logis-

图 1 相关性分析热图



注:①*P<0.05,**P<0.01,***P<0.001;②相关性矩阵说明参数之间 的相关性:每个正方形表示两个变量之间的相关性。相同的变量 在行和列中表示,对角线显示每个变量与其自身完全相关。矩阵 是对称的,主对角线下的相关性用颜色表示。颜色越深,两个变量 之间的相互依赖性越强,以深红色表示的负相关性强(r=-1),即 一个变量随着另一个变量的减少而增加,以深蓝色表示的正相关 性强(r=+1),即一个变量随着另一个变量的增加而增加。

图2 Lasso 回归模型中最佳惩罚系数(A)变化过程



tic 回归模型,通过逐步回归法筛选卒中后认知障碍危险因素。结果显示,大脑皮层损伤(*P*<0.05)、基底节损伤(*P*<0.05)、丘脑损伤(*P*<0.05)和低水平载脂蛋白A1(*P*<0.05)对卒中患者而言属于危险因素,可能会导致卒中后认知障碍的发生,差异具有显著性意义,结果见表2。同时绘制受试者工作(receiver operating characteristic,ROC)曲线,曲线下面积为0.738,结果见图4。

2.5 绘制列线图(Nomogram图)

根据二元Logistic回归模型拟合的结果,将大脑皮层、基底节、丘脑和载脂蛋白A1四个独立预测因素纳入列线图,见图5,实现预测模型结果可视化,帮助临床工作者简单快速的识别PSCI 患者。随机筛选数据库中第50行患者数据(大脑

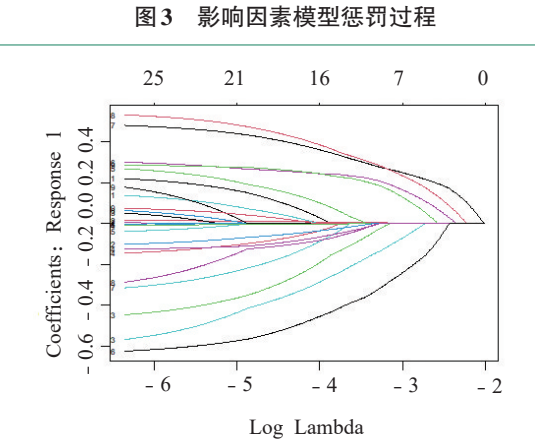


图 4 预测效能评估受试者工作曲线

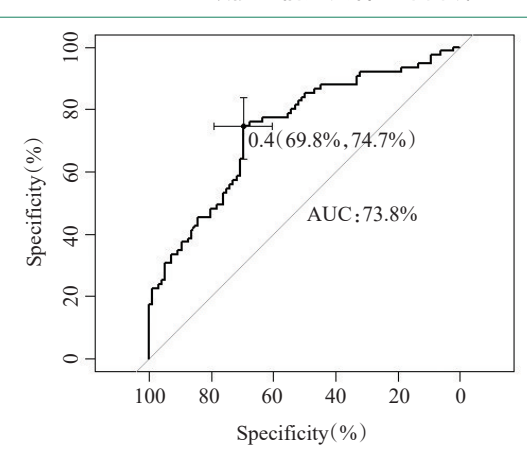


表 2 Logistic 回归模型分析 PSCI 的危险因素

变量	Wald	OR	95% CI	β值	P值
大脑皮层	0.746	2.230	1.12-4.42	0.8	0.023
基底节	5.205	2.157	1.09-4.28	0.769	0.028
丘脑	4.833	2.811	1.11—7.12	1.033	0.029
载脂蛋白A1	4.747	0.200	0.05-0.89	- 1.609	0.035

皮层损伤、基底节损伤、丘脑未损伤、载脂蛋白 A1 1.40g/ml) 标注在图中,患者发生 PSCI的可能性为 54.8%。

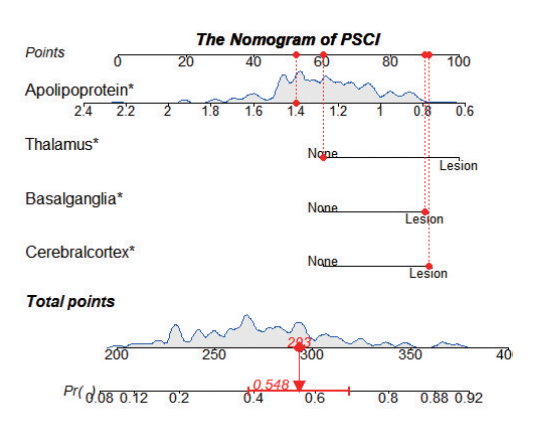
2.6 模型效能检验

决策曲线(decision curve analysis, DCA)如图 6 所示,当 PSCI 发生风险的阈概率在 22%—92%之间时,使用列线图预测 PSCI 患者的风险能得到较高收益。校准(calibration)曲线如图 7 所示,当预测概率在 0.42—1.0 之间时模型可能会低估 PSCI 的发生风险,但总体预测风险发生率和实测风险发生率较为接近。

3 讨论

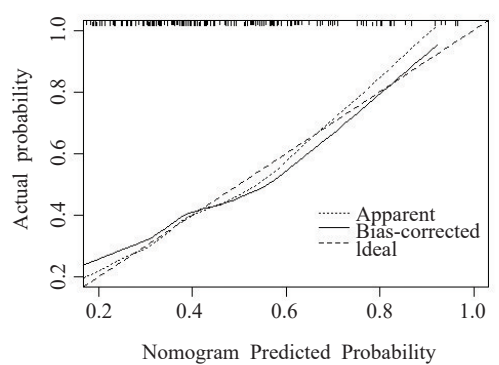
本研究通过Lasso回归筛选卒中后认知障碍患者的重要预测因素,避免了高维低样本情况下出现过度拟合的情况,同时减少各因素之间由于共线性存在对结果产生影响的可能性。将筛选出的7个重要预测因素纳入Logistic回归模

图 5 PSCI 患者预测列线(Nomogram)图



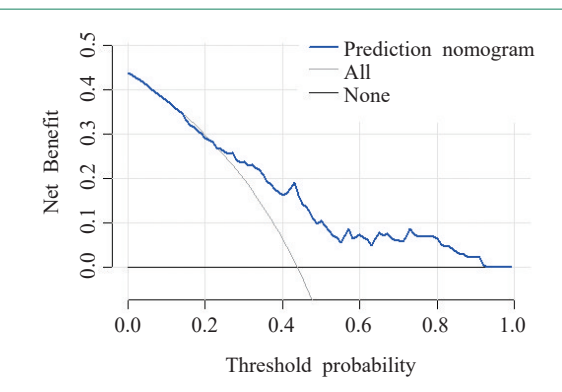
注:随机抽取数据中第50行患者的数据将其标注于列线图中,该患者大脑皮层损伤,基底节损伤,载脂蛋白A1(1.4g/ml),丘脑未损伤。最终结果显示该患者PSCI发生的概率为54.8%。

图6 决策曲线(DCA)



B=10000 repetitions, boot Mean absolute error=0.037 n=171

图7 校准(calibration)曲线



型。结果提示,低水平ApoA1、大脑皮层损伤、丘脑损伤和基底节损伤是PSCI的独立危险因素。

既往研究认为年龄是PSCI的预测因素,老年患者多伴 有年龄相关性认知功能减退,年龄不仅是脑卒中的危险因 素,也是认知能力下降的危险因素[8-9]。但本次研究年龄未 作为独立预测因素纳入最终模型,一方面是统计方法的选择 差异,年龄同其他变量间多存在复杂的交互作用,若单纯通 过二元Logistic 回归分析存在过度拟合的可能性,Logistic 分 析结果年龄被纳入方程中(OR=1.023,95% CI: 0.996— 1.051)。另一方面可能由于本次研究总样本量较小而纳入 研究的对象中老年卒中患者占比较高,无法进一步明确年龄 在PSCI中的具体作用。血清胆固醇和吸烟状况不能预测患 者的认知情况,这一结论与Pascoe M等[10]研究结果相同。 糖尿病是导致痴呆发生的危险因素,会引起血管基膜增厚, 脑部缺血缺氧性损伤[11-12],但本研究结果未证实糖尿病是 PSCI的独立危险因素。研究差异可能基于个体基因差异, Cai R等[13]研究显示,ABCA1介导的胆固醇代谢参与糖尿病 认知功能损害的发生,上调ABCA1的表达对认知功能起到 保护作用。高血压是常见的卒中危险因素,但其与认知功能 之间的关系暂无明确研究,本次研究结果提示高血压并非 PSCI的独立危险因素。

ApoA1是HDL的重要组成部分,被认为是老年人认知功能下降、AD和PD的潜在血浆生物标记物[14-16]。本研究结果显示,高水平ApoA1对于PSCI患者而言是保护性因素。Lewis TL[17]等研究证实ApoA1具有广泛的神经保护作用,体内炎症因子MCP-1和IL-6水平显著降低,帮助神经元细胞修复再生,同时可以阻止学习和记忆缺陷的发展。APOA1水平与认知功能关系密切,RVX-208是促进apoA1生成的强效口服药,未来可以多角度思考APOA1靶向治疗PSCI的新思路[18]。

列线图显示若大脑皮层、丘脑和基底节三个部位均损伤,卒中患者发生PSCI的风险超过50%。认知,是人们获得

知识和应用知识的过程,是人体高级功能之一。大脑皮层与 高级神经活动有关,各个脑叶与认知密切相关,因此皮层损 伤易引发认知障碍。基底节区的神经元与整个大脑皮层联 系,通常与奖励的(强化)学习有关。基底神经节从整个大脑 皮层(特别是额叶)接收传入信号对患者额叶皮质下和顶叶 皮质下循环产生影响[19]。基底神经节的主要传出信号来自 内侧苍白球,依次投射到丘脑的腹外侧核,腹前核和背侧 核。基础实验证实,啮齿类动物的丘脑前核(Atn)损伤降低 额叶皮层的活性[20]。Leisman G等[21]认为皮质-纹状体-丘脑-皮质环主要负责机体的认知功能。认知行为由脑内不同神 经环路负责,各个脑区间长神经环路和脑区内的局部神经环 路共同作用是认知功能得以正常表现的基础。大脑皮层、基 底节和丘脑参与认知相关的各类环路组成,任一部位损伤均 会导致认知功能的损伤,进而影响患者的日常生活能力。神 经环路是由神经元之间形成的复杂而精确的网络连接,有研 究认为脑网络功能连接的恢复对PSCI患者认知功能的影响 优于单纯的损伤区域神经元的恢复。常用的康复治疗除了 常规的认知功能训练,还有新兴的神经调控技术,如:重复经 颅磁刺激治疗和经颅直流电刺激,可以实现脑网络连接功能 的恢复[22-23]。神经调控技术在患者不能配合的情况下也可 有效完成治疗,利于早期康复介入改善患者的认知功能。

PSCI 是卒中后常见的并发症,发病初期较为隐匿,可能 仅表现为情绪改变或者是轻度的记忆力下降,后期则会影响 患者的日常生活能力、心理健康状况和生活质量,其死亡率 明显高于认知功能正常的患者[25]。PSCI患者的认知功能在 卒中发生后3个月内改善较快,早期干预将有机会防止其发 展为痴呆,也可以一定程度上逆转已有的认知障碍。大脑皮 层、基底节和丘脑损伤发生后不可逆转,提示临床医生重点 针对血管相关危险因素进行干预,例如:避免肥胖、高血压、 糖尿病、高同型半胱氨酸血症等[24]。尽管高血压、糖尿病和 吸烟等因素被排除在本研究预测模型之外,这只能说明这些 因素并非PSCI的危险因素,但是卒中的主要危险因素,而预 防卒中复发对于PSCI患者而言有重要意义。临床医生除了 治疗之外,应该做好预防工作,鼓励患者日常生活中坚持继 续教育和体育锻炼,保持良好的生活作息和饮食习惯。药物 治疗除了上文提到的可以考虑RVX-208的治疗新思路外,另 有研究表明卒中24h后安排患者服用胆碱酯酶抑制剂盐酸 多奈哌齐,6个月后试验组认知功能明显优于对照组。另有 使用加兰他敏的研究,但与盐酸多奈哌齐相比临床不良反应 多见。更加高效和特异性的治疗药物有待研发[26-27]。

4 结论

单独使用Logistic 回归模型可能因多重共线性问题对模型稳健性造成一定影响,因此本研究基于Lasso 回归对卒中

后认知障碍危险因素行初步探索研究。大脑皮层损伤、基底节损伤、丘脑损伤和载脂蛋白 A1 水平较低是 PSCI 患者的独立预测因素。临床工作中对有 PSCI 独立危险因素的患者主要在于早发现、早诊断和早治疗,提高患者预后同时改善患者的生活质量。本研究的局限性在于:样本数据量偏小;所有数据均来自单中心、回顾性数据,可能会存在选择偏倚。未来需要大样本、多中心数据和前瞻性试验进一步发现和证实 PSCI 的危险因素。

参考文献

- [1] Guzik A, Bushnell C.Stroke epidemiology and risk factor management[J].Continuum (Minneap Minn), 2017, 23 (1, Cerebrovascular Disease): 15—39.
- [2] Qu Y, Zhuo L, Li N, et al.Prevalence of post-stroke cognitive impairment in China: a community-based, cross-sectional study[J].PLoS One, 2015, 10 (4): e0122864.
- [3] 孙胜楠,徐耀,马灿灿,等.急性缺血性脑卒中后认知障碍患者精神行为症状的特征性分析[J].中华老年心脑血管病杂志,2020,22(4):348—351.
- [4] Oksala NK, Jokinen H, Melkas S, et al.Cognitive impairment predicts poststroke death in long-term follow-up[J].J Neurol Neurosurg Psychiatry, 2009, 80 (11): 1230—1235.
- [5] Torres VL, Rosselli M, Loewenstein DA, et al. Types of errors on a semantic interference task in mild cognitive impairment and dementia[J]. Neuropsychology, 2019, 33(5): 670—684.
- [6] 由健,姜恒蔚,毕可萍.评价早期康复治疗应用于脑卒中患者 对其认知功能障碍、日常生活活动能力的影响价值[J].中国保 健营养,2020,30 (28):155—156.
- [7] Mijajlovic MD, Pavlovic A, Brainin M, et al. Post-stroke dementia: A comprehensive review [J]. BMC Med, 2017, 15(1): 11.
- [8] Mahon S, Parmar P, Barker-Collo S, et al.Determinants, prevalence, and trajectory of long-term post-stroke cognitive impairment: results from a 4-year follow-up of the arcos-iv study[J].Neuroepidemiology, 2017, 49(3—4): 129—134.
- [9] Zhang Y, Zhang Z, Yang B, et al.Incidence and risk factors of cognitive impairment 3 months after first- ever stroke: A cross-sectional study of 5 geographic areas of China[J].J Huazhong Univ Sci Technolog Med Sci, 2012, 32 (6): 906—911.
- [10] Pascoe M, Ski CF, Thompson DR, et al.Serum cholesterol, body mass index and smoking status do not predict long-term cognitive impairment in elderly stroke patients[J]. J Neurol Sci,2019, 406: 116476.
- [11] Mogi M, Horiuchi M.Neurovascular coupling in cognitive impairment associated with diabetes mellitus[J].Circ J, 2011, 75 (5): 1042—1048.
- [12] Marseglia A, Fratiglioni L, Kalpouzos G, et al.Prediabetes and diabetes accelerate cognitive decline and predict microvascular lesions: A population-based cohort study[J].Alzheimers Dement, 2019, 15 (1): 25—33.
- [13] Cai R, Han J, Sun J, et al. Effects of ABCA1 R219K

- polymorphism and serum lipid profiles on mild cognitive impairment in Type 2 diabetes mellitus[J].Front Aging Neurosci, 2017, 9: 257.
- [14] Song F, Poljak A, Crawford J, et al.Plasma apolipoprotein levels are associated with cognitive status and decline in a community cohort of older individuals[J].PLoS One, 2012, 7 (6): e34078.
- [15] Reynolds CA, Gatz M, Prince JA, et al.Serum lipid levels and cognitive change in late life[J].J Am Geriatr Soc, 2010, 58 (3): 501—509.
- [16] Chen CCW, Erlich AT, Hood DA.Role of Parkin and endurance training on mitochondrial turnover in skeletal muscle[J].Skelet Muscle, 2018, 8 (1): 10.
- [17] Lewis TL, Cao D, Lu H, et al. Overexpression of human apolipoprotein A-I preserves cognitive function and attenuates neuroinflammation and cerebral amyloid angiopathy in a mouse model of Alzheimer disease[J]. J Biol Chem, 2010, 285 (47): 36958—36968.
- [18] Nikolic D, Rizzo M, Mikhailidis DP, et al.An evaluation of RVX-208 for the treatment of atherosclerosis[J].Expert Opin Investig Drugs, 2015, 24 (10): 1389—1398.
- [19] Bostan AC, Strick PL.The basal ganglia and the cerebellum: nodes in an integrated network[J].Nat Rev Neurosci, 2018, 19 (6): 338—350.
- [20] Jenkins TA, Dias R, Amin E, et al.Fos imaging reveals that lesions of the anterior thalamic nuclei produce wide-spread limbic hypoactivity in rats[J].J Neurosci, 2002, 22 (12): 5230—5238.
- [21] Leisman G, Braun-Benjamin O, Melillo R.Cognitive-motor interactions of the basal ganglia in development[J].Front Syst Neurosci, 2014, 8: 16.
- [22] Cantone M, Lanza G, Fisicaro F, et al.Evaluation and treatment of vascular cognitive impairment by transcranial magnetic stimulation[J].Neural Plast, 2020, 2020: 8820881.
- [23] Finisguerra A, Borgatti R, Urgesi C.Non-invasive brain stimulation for the rehabilitation of children and adolescents with neurodevelopmental disorders: A systematic review[J].Front Psychol, 2019, 10: 135.
- [24] De Bruijn RF, Bos MJ, Portegies ML, et al.The potential for prevention of dementia across two decades: the prospective, population-based Rotterdam Study[J].BMC Med, 2015, 13: 132.
- [25] Rohde D, Gaynor E, Large M, et al.The impact of cognitive impairment on poststroke outcomes: A 5-year follow-up [J].J Geriatr Psychiatry Neurol, 2019, 32 (5): 275—281.
- [26] Barrett KM, Brott TG, Brown RD, et al.Enhancing recovery after acute ischemic stroke with donepezil as an adjuvant therapy to standard medical care: results of a phase IIA clinical trial[J].J Stroke Cerebrovasc Dis, 2011, 20 (3): 177—182.
- [27] Birks J, Craig D.Galantamine for vascular cognitive impairment[J].Cochrane Database Syst Rev, 2006(4):CD004746.